

Matematické modelování elmg. polí — 2. kap.: Magnetostatika

Dalibor Lukáš

Katedra aplikované matematiky
FEI VŠB–Technická univerzita Ostrava

email: dalibor.lukas@vsb.cz

<http://www.am.vsb.cz/lukas/>

Text byl vytvořen v rámci realizace projektu *Matematika pro inženýry 21. století* (reg. č. CZ.1.07/2.2.00/07.0332), na kterém se společně podílela Vysoká škola báňská – Technická univerzita Ostrava a Západočeská univerzita v Plzni



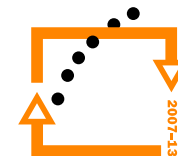
evropský
sociální
fond v ČR



EVROPSKÁ UNIE



MINISTERSTVO ŠKOLSTVÍ,
MLÁDEŽE A TĚLOVÝCHOVY



OP Vzdelávání
pro konkurenceschopnost

INVESTICE DO ROZVOJE VZDĚLÁVÁNÍ

Matematické modelování elmg. polí — Magnetostatika

Osnova

- Magnetostatika
- Modelová úloha
- 2d magnetostatika
 - Variační formulace
 - Metoda konečných prvků
 - Hraniční integrální formulace
 - Metoda hraničních prvků
 - Párování konečných a hraničních prvků
- 3d magnetostatika
 - Variační formulace
 - Metoda konečných prvků

Magnetostatika

popisuje magnetická (silová) pole stacionárních proudů.

Zákon zachování náboje

Úbytek náboje v objemovém elementu odpovídá toku náboje z povrchu elementu:

$$\oint_{\partial\Omega} \rho(\mathbf{x}) \mathbf{v}(\mathbf{x}) \cdot \mathbf{n}(\mathbf{x}) dS(\mathbf{x}) = - \int_{\Omega} \frac{\partial \rho(\mathbf{x})}{\partial t} dV(\mathbf{x}),$$

kde \mathbf{v} je rychlost toku náboje (rychlost elektronů), t je čas.

Označme $\mathbf{j}(\mathbf{x}) := \rho(\mathbf{x}) \mathbf{v}(\mathbf{x})$ hustotu elektrického proudu. Pak Gaussova věta dává

$$\operatorname{div}(\mathbf{j}(\mathbf{x})) = -\frac{\partial \rho(\mathbf{x})}{\partial t}.$$

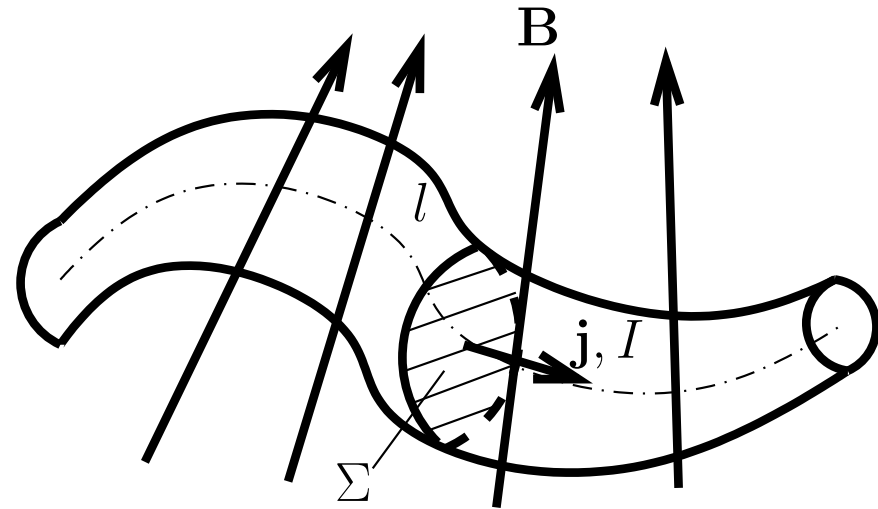
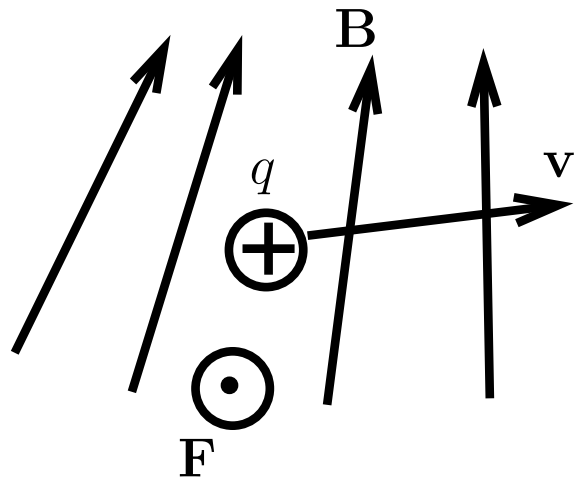
Označme dále tok elektrického náboje trubicí o průřezu Σ jako elektrický proud

$$I(\Sigma) := \int_{\Sigma} \mathbf{j}(\mathbf{x}) \cdot \mathbf{n}(\mathbf{x}) dS(\mathbf{x}) = \text{konst.}$$

Magnetostatika

Lorentzova síla

je síla působící na pohybující se náboj nebo na proudovodič.



$$\mathbf{F} = q\mathbf{v} \times \mathbf{B}$$

$$\mathbf{F} = \int_l \int_{\Sigma(\mathbf{y})} \mathbf{j}(\mathbf{x}) \times \mathbf{B}(\mathbf{y}) dS(\mathbf{x}) dl(\mathbf{y}) = \int_l I(\mathbf{y})\mathbf{n}(\mathbf{y}) \times \mathbf{B}(\mathbf{y}) dl(\mathbf{y}),$$

kde \mathbf{B} je pole magnetické indukce.

Magnetostatika

Neexistují magnetické náboje.

$$\int_{\partial\Omega} \mathbf{B}(\mathbf{x}) \cdot \mathbf{n}(\mathbf{x}) dS(\mathbf{x}) = 0$$

Gaussova věta dává:

$$\text{div}(\mathbf{B}(\mathbf{x})) = 0 \quad \text{pro } \mathbf{x} \in \mathbb{R}^3.$$

Ampérův zákon (ve vakuu)

Magnetické pole rotuje kolem budících proudů:

$$\oint_{\partial\Sigma} \mathbf{B}(\mathbf{x}) d\mathbf{l}(\mathbf{x}) = \mu_0 \int_{\Sigma} \mathbf{j}(\mathbf{x}) \cdot \mathbf{n}(\mathbf{x}) dS(\mathbf{x}),$$

kde $\mu_0 = 4\pi \cdot 10^{-7}$ je permeabilita vakua, přičemž $\varepsilon_0\mu_0 = 1/c^2$, kde c je rychlost světla.

Stokesova věta dává:

$$\text{rot}(\mathbf{B}(\mathbf{x})) = \mu_0 \mathbf{j}(\mathbf{x}) \quad \text{pro } \mathbf{x} \in \mathbb{R}^3.$$

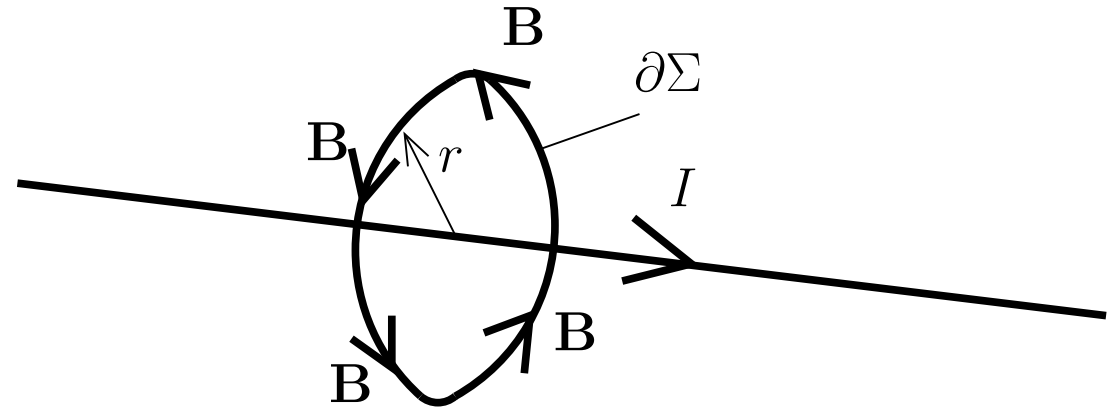
Magnetostatika

Příklad 5: Pole dlouhého vodiče

$$\oint_{\partial\Sigma} \mathbf{B}(\mathbf{x}) \cdot d\mathbf{l}(\mathbf{x}) = \mu_0 \int_{\Sigma} \mathbf{j}(\mathbf{x}) \cdot \mathbf{n}(\mathbf{x}) dS(\mathbf{x})$$

$$B(r)2\pi r = \mu_0 I$$

$$B(r) = \frac{\mu_0 I}{2\pi r}$$



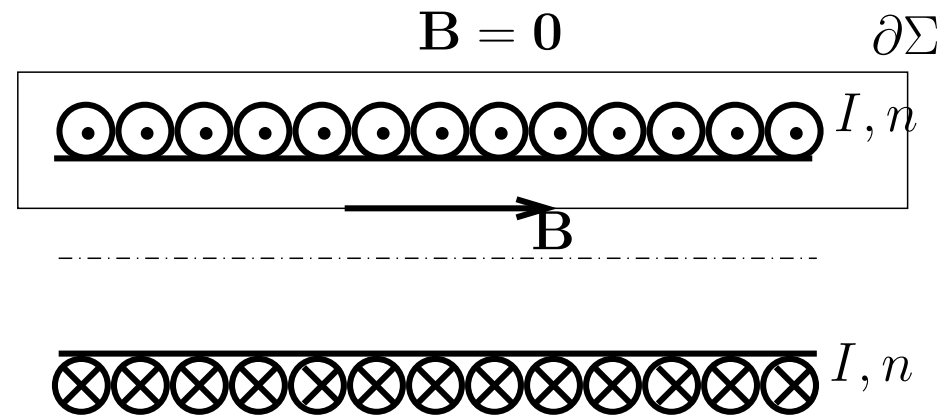
Příklad 6: Pole dlouhé cívky

$$\oint_{\partial\Sigma} \mathbf{B}(\mathbf{x}) \cdot d\mathbf{l}(\mathbf{x}) = \mu_0 \int_{\Sigma} \mathbf{j}(\mathbf{x}) \cdot \mathbf{n}(\mathbf{x}) dS(\mathbf{x})$$

$$Bl = \mu_0 n l I$$

$$B = \mu_0 n I,$$

kde n je hustota závitů.



Magnetostatika

Ampérův zákon ve feromagnetiku

Ve feromagnetických materiálech se po vložení do magnetického pole vytvoří vrstvy zmagnetizovaných proudových smyček orientovaných v souladu s vnějším polem tak, že magnetické pole zesilují.

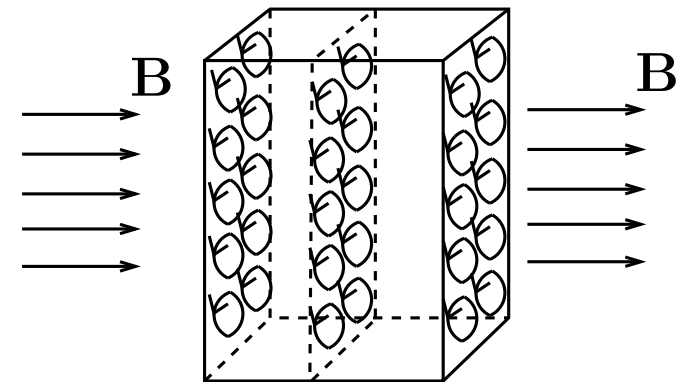
Označme $\mathbf{j}_{\text{mag}}(\mathbf{x}) = \mathbf{rot}(\mathbf{M}(\mathbf{x}))$ hustotu magnetizovaných dipólů, kde \mathbf{M} je magnetizace.

$$\mathbf{rot}(\mathbf{B}(\mathbf{x})) = \mu_0(\mathbf{j}(\mathbf{x}) + \mathbf{j}_{\text{mag}}(\mathbf{x}))$$
$$\mathbf{rot}\left(\frac{1}{\mu_r}\mathbf{B}(\mathbf{x})\right) := \mathbf{rot}\left(\mathbf{B}(\mathbf{x}) - \frac{\mathbf{M}(\mathbf{x})}{\mu_0}\right) = \mu_0\mathbf{j}(\mathbf{x}),$$

kde $\mu_r \geq 1$ je relativní permeabilita.

Označme $\mathbf{H}(\mathbf{x}) := \frac{1}{\mu_0\mu_r(\mathbf{x})}\mathbf{B}(\mathbf{x})$ magnetickou intenzitu:

$$\mathbf{rot}(\mathbf{H}(\mathbf{x})) = \mathbf{j}(\mathbf{x}) \quad \text{pro } \mathbf{x} \in \mathbb{R}^3.$$



Magnetostatika

Magnetický vektorový potenciál

Energie proudové smyčky:

$$W = I \int_{\Sigma} \mathbf{B}(\mathbf{x}) \cdot \mathbf{n}(\mathbf{x}) dS(\mathbf{x}).$$

Definujme magnetický vektorový potenciál \mathbf{A} :

$\mathbf{rot}(\mathbf{u}(\mathbf{x})) = \mathbf{B}(\mathbf{x})$. Stokesova věta dává

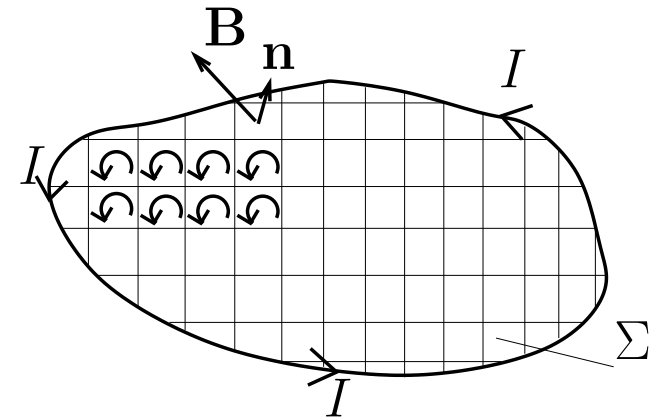
$$W = I \int_{\Sigma} \mathbf{rot}(\mathbf{u}(\mathbf{x})) \cdot \mathbf{n}(\mathbf{x}) dS(\mathbf{x}) = I \oint_{\partial\Sigma} \mathbf{u}(\mathbf{x}) \cdot d\mathbf{l}(\mathbf{x}).$$

\mathbf{u} je nejednoznačný, neboť

$$\mathbf{B}(\mathbf{x}) = \mathbf{rot}(\mathbf{u}(\mathbf{x})) = \mathbf{rot}(\mathbf{u}(\mathbf{x}) + \nabla\phi(\mathbf{x}))$$

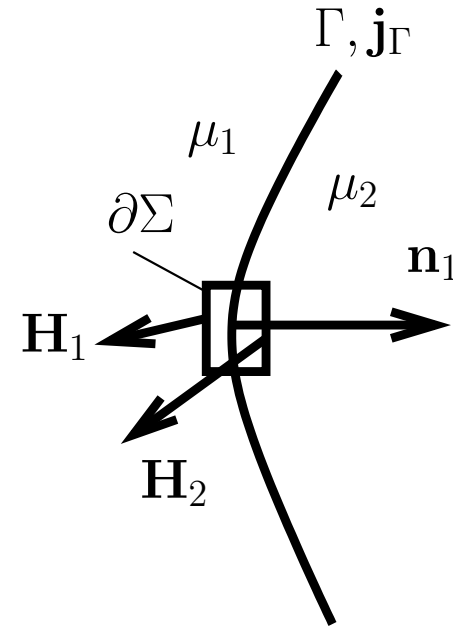
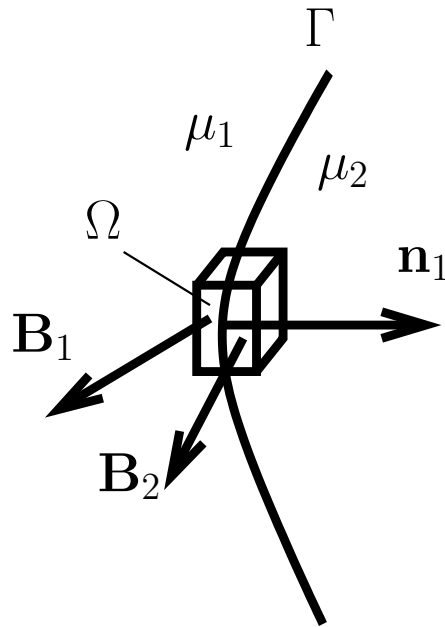
Jednoznačnost můžeme vynutit např. Coulombovskou kalibrační podmínkou:

$$\operatorname{div}(\mathbf{u}(\mathbf{x})) = 0 \text{ a poklesem v nekonečnu } |\mathbf{u}(\mathbf{x})| \rightarrow 0 \text{ pro } |\mathbf{x}| \rightarrow \infty.$$



Magnetostatika

Podmínky na rozhraní



$$\oint_{\partial\Omega} \mathbf{B}(\mathbf{x}) \cdot \mathbf{n}(\mathbf{x}) dS(\mathbf{x}) = 0 \Rightarrow (\mathbf{B}_1(\mathbf{x}) - \mathbf{B}_2(\mathbf{x})) \cdot \mathbf{n}_1(\mathbf{x}) = 0 \quad \text{pro } \mathbf{x} \in \Gamma.$$

$$\oint_{\partial\Sigma} \mathbf{H}(\mathbf{x}) d\mathbf{l}(\mathbf{x}) = \mu_0 \int_{\Sigma} \mathbf{j}(\mathbf{x}) \cdot \mathbf{n}(\mathbf{x}) dS(\mathbf{x}) \Rightarrow$$

$$(\mathbf{H}_1(\mathbf{x}) - \mathbf{H}_2(\mathbf{x})) \times \mathbf{n}_1(\mathbf{x}) = \mathbf{j}_\Gamma(\mathbf{x}) \quad \text{pro } \mathbf{x} \in \Gamma.$$

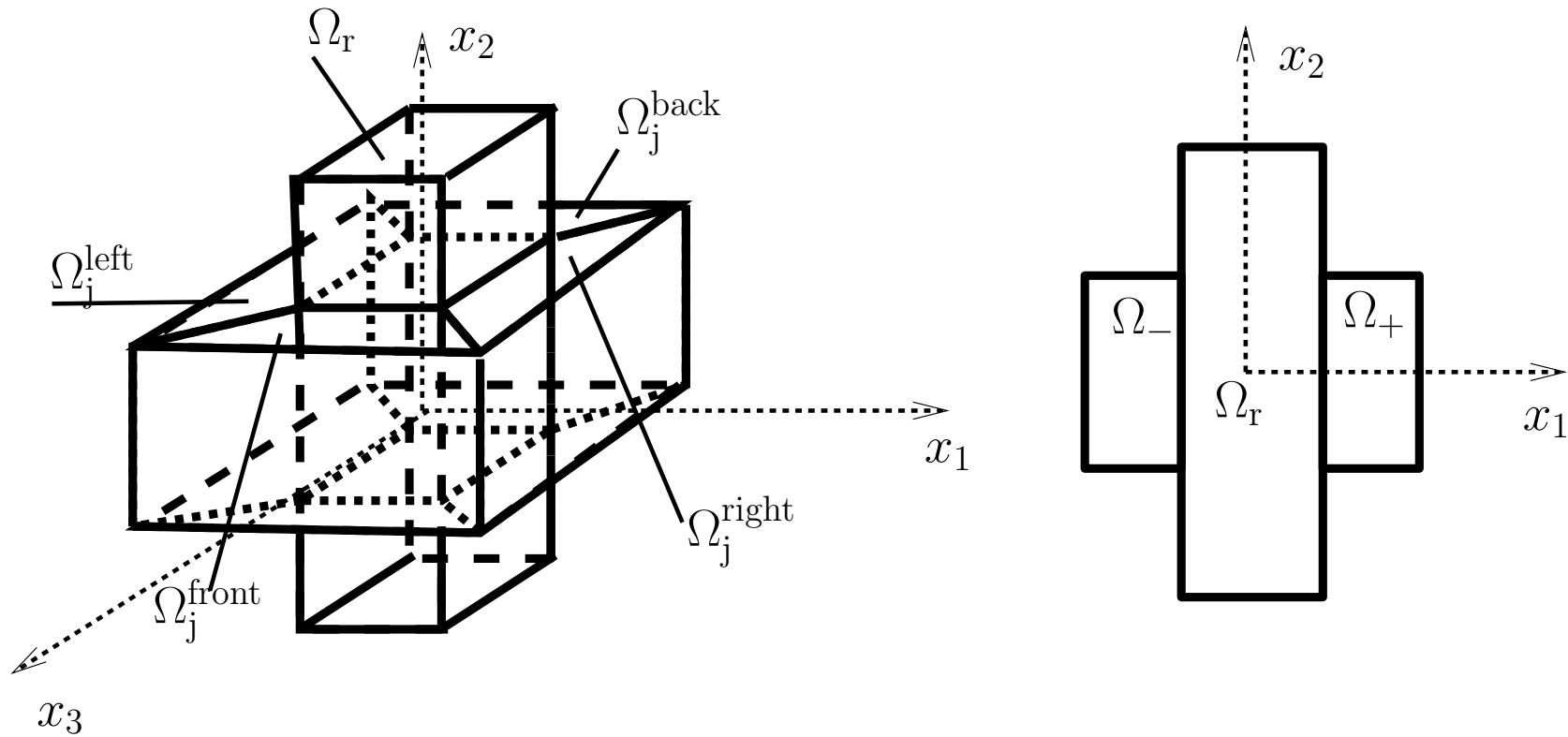
Matematické modelování elmg. polí — Magnetostatika

Osnova

- Magnetostatika
- Modelová úloha
- 2d magnetostatika
 - Variační formulace
 - Metoda konečných prvků
 - Hraniční integrální formulace
 - Metoda hraničních prvků
 - Párování konečných a hraničních prvků
- 3d magnetostatika
 - Variační formulace
 - Metoda konečných prvků

Modelová úloha

3d geometrie, redukce do 2d



Ω_+ ... kladná proudová hustota j , Ω_- ... záporná proudová hustota $-j$,
 Ω_r ... feromagnetikum μ_r

Modelová úloha

3d matematický model

Hledáme $\mathbf{u}_0 : \overline{\Omega}_0 \rightarrow \mathbb{R}^3$ a $\mathbf{u}_r : \overline{\Omega}_r \rightarrow \mathbb{R}^3$ tak, že

$$\left\{ \begin{array}{ll} \mathbf{rot}(\mathbf{rot}(\mathbf{u}_r(\mathbf{x}))) = \mathbf{0}, & \mathbf{x} \in \Omega_r, \\ \mathbf{rot}(\mathbf{rot}(\mathbf{u}_0(\mathbf{x}))) = \mu_0 \mathbf{j}(\mathbf{x}), & \mathbf{x} \in \Omega_0 := \mathbb{R}^3 \setminus \overline{\Omega}_r, \\ \operatorname{div}(\mathbf{u}_k(\mathbf{x})) = \mathbf{0}, & \mathbf{x} \in \Omega_k, k \in \{0, r\}, \\ (\mathbf{u}_0(\mathbf{x}) - \mathbf{u}_r(\mathbf{x})) \times \mathbf{n}_r(\mathbf{x}) = \mathbf{0}, & \mathbf{x} \in \partial\Omega_r, \\ \left(\mathbf{rot}(\mathbf{u}_0(\mathbf{x})) - \frac{1}{\mu_r} \mathbf{rot}(\mathbf{u}_r(\mathbf{x})) \right) \times \mathbf{n}_r(\mathbf{x}) = \mathbf{0}, & \mathbf{x} \in \partial\Omega_r, \\ \mathbf{u}_0(\mathbf{x}) \rightarrow \mathbf{0}, & |\mathbf{x}| \rightarrow \infty, \end{array} \right.$$

kde

$$\mathbf{j}(\mathbf{x}) := (0, 0, -j) \text{ pro } \mathbf{x} \in \Omega_j^{\text{left}}, \quad \mathbf{j}(\mathbf{x}) := (-j, 0, 0) \text{ pro } \mathbf{x} \in \Omega_j^{\text{front}},$$

$$\mathbf{j}(\mathbf{x}) := (0, 0, j) \text{ pro } \mathbf{x} \in \Omega_j^{\text{right}}, \quad \mathbf{j}(\mathbf{x}) := (j, 0, 0) \text{ pro } \mathbf{x} \in \Omega_j^{\text{back}}, \quad \mathbf{j}(\mathbf{x}) := \mathbf{0} \text{ jinde.}$$

Modelová úloha

2d matematický model

Hledáme $u_0 : \overline{\Omega}_0 \rightarrow \mathbb{R}$ a $u_r : \overline{\Omega}_r \rightarrow \mathbb{R}$ tak, že

$$\left\{ \begin{array}{ll} -\Delta u_r(\mathbf{x}) = 0, & \mathbf{x} \in \Omega_r, \\ -\Delta u_0(\mathbf{x}) = \mu_0 j(\mathbf{x}), & \mathbf{x} \in \Omega_0 := \mathbb{R}^2 \setminus \overline{\Omega}_r, \\ u_0(\mathbf{x}) - u_r(\mathbf{x}) = 0, & \mathbf{x} \in \partial\Omega_r, \\ \partial u_0(\mathbf{x})/\partial \mathbf{n}(\mathbf{x}) - \frac{1}{\mu_r} \partial u_r(\mathbf{x})/\partial \mathbf{n}(\mathbf{x}) = 0, & \mathbf{x} \in \partial\Omega_r, \\ u_0(\mathbf{x}) \rightarrow 0, & |\mathbf{x}| \rightarrow \infty, \end{array} \right.$$

kde

$$j(\mathbf{x}) := \begin{cases} -j, & \mathbf{x} \in \Omega_-, \\ j, & \mathbf{x} \in \Omega_+, \\ 0, & \text{jinde.} \end{cases}$$

Magnetická indukce je pak tato:

$$\mathbf{B}(x_1, x_2, x_3) = \mathbf{rot}(0, 0, u(x_1, x_2)) = \left(\frac{\partial u(x_1, x_2)}{\partial x_2}, -\frac{\partial u(x_1, x_2)}{\partial x_1}, 0 \right).$$

Matematické modelování elmg. polí — Magnetostatika

Osnova

- Magnetostatika
- Modelová úloha
- 2d magnetostatika
 - Variační formulace
 - Metoda konečných prvků
 - Hraniční integrální formulace
 - Metoda hraničních prvků
 - Párování konečných a hraničních prvků
- 3d magnetostatika
 - Variační formulace
 - Metoda konečných prvků

Variační formulace

Ořezání výpočetní oblasti

Uvažujme $d := 2$, $\Omega \subset \mathbb{R}^2$ pokrývající Ω_r a Ω_j a necht'

$$u(\mathbf{x}) = 0 \quad \text{pro } \mathbf{x} \in \partial\Omega.$$

Neuvažujeme tedy nadále neomezenou oblast. Dopuštíme se tím [chyby v modelování!](#)

Zjednodušíme zápis geometrie, konstanty μ_r a řešení takto:

$$\mu(\mathbf{x}) := \begin{cases} \mu_0 \mu_r, & \mathbf{x} \in \Omega_r, \\ \mu_0, & \mathbf{x} \in \mathbb{R}^2 \setminus \overline{\Omega_r}, \end{cases} \quad u(\mathbf{x}) = \begin{cases} u_r(\mathbf{x}), & \mathbf{x} \in \Omega_r, \\ u_0(\mathbf{x}), & \mathbf{x} \in \Omega_0 := \Omega \setminus \overline{\Omega_r}. \end{cases}$$

Greenova věta

Pro spoj. dif. funkce $q, v : \bar{\omega} \rightarrow \mathbb{R}$ a pěkné $\omega \subset \mathbb{R}^d$ s vnější jedn. normálou $\mathbf{n}(\mathbf{x})$ platí:

$$\int_{\omega} \frac{\partial q(\mathbf{x})}{\partial x_i} v(\mathbf{x}) d\mathbf{x} = - \int_{\omega} q(\mathbf{x}) \frac{\partial v(\mathbf{x})}{\partial x_i} d\mathbf{x} + \int_{\partial\omega} q(\mathbf{x}) v(\mathbf{x}) n_i(\mathbf{x}) dS(\mathbf{x}).$$

Variační formulace

Odvození variační formulace

Vezměme diferencovatelnou funkci $v : \bar{\Omega} \rightarrow \mathbb{R}$, $v(\mathbf{x}) = 0$ pro $\mathbf{x} \in \partial\Omega$. Z první rovnice

$$\int_{\Omega_r} \frac{1}{\mu_0 \mu_r(\mathbf{x})} \Delta u_r(\mathbf{x}) v(\mathbf{x}) d\mathbf{x} = 0$$

a aplikací Greenovy věty dostáváme

$$\int_{\Omega_r} \frac{1}{\mu_0 \mu_r(\mathbf{x})} \nabla u_r(\mathbf{x}) \nabla v(\mathbf{x}) d\mathbf{x} - \int_{\partial\Omega_r} \frac{1}{\mu_0 \mu_r(\mathbf{x})} \frac{\partial u_r(\mathbf{x})}{\partial \mathbf{n}(\mathbf{x})} v(\mathbf{x}) dS(\mathbf{x}) = 0.$$

Podobně přenásobíme v a $1/\mu_0$ druhou rovnici, zintegrujeme ji a z Greenovy věty

$$\int_{\Omega_0} \frac{1}{\mu_0} \nabla u_0(\mathbf{x}) \nabla v(\mathbf{x}) d\mathbf{x} - \int_{\partial\Omega_0} \frac{1}{\mu_0} \frac{\partial u_0(\mathbf{x})}{\partial \mathbf{n}(\mathbf{x})} v(\mathbf{x}) dS(\mathbf{x}) = \int_{\Omega_j} j(\mathbf{x}) v(\mathbf{x}) d\mathbf{x}.$$

Variační formulace

Odvození variační formulace (pokrač.)

Sečteme předchozí rovnice s vědomím, že normály k Ω_r a k Ω_0 na $\partial\Omega_r \cap \partial\Omega_0$ jsou opačné

$$\begin{aligned} & \int_{\Omega} \frac{1}{\mu(\mathbf{x})} \nabla u(\mathbf{x}) \nabla v(\mathbf{x}) \, d\mathbf{x} - \int_{\partial\Omega} \frac{1}{\mu_0} \frac{\partial u_0(\mathbf{x})}{\partial \mathbf{n}(\mathbf{x})} v(\mathbf{x}) \, dS(\mathbf{x}) + \\ & + \int_{\partial\Omega_r} \frac{1}{\mu_0} \left(\frac{\partial u_0(\mathbf{x})}{\partial \mathbf{n}(\mathbf{x})} - \frac{1}{\mu_r(\mathbf{x})} \frac{\partial u_r(\mathbf{x})}{\partial \mathbf{n}(\mathbf{x})} \right) v(\mathbf{x}) \, dS(\mathbf{x}) = \int_{\Omega} j(\mathbf{x}) v(\mathbf{x}) \, d\mathbf{x}. \end{aligned}$$

Použijeme $v = 0$ na $\partial\Omega$ a definice $j(\mathbf{x})$, $\mu(\mathbf{x})$ a $u(\mathbf{x})$ a dostáváme variační rovnici

$$\int_{\Omega} \frac{1}{\mu(\mathbf{x})} \nabla u(\mathbf{x}) \nabla v(\mathbf{x}) \, d\mathbf{x} = \int_{\Omega} j(\mathbf{x}) v(\mathbf{x}) \, d\mathbf{x}.$$

Řešení u i testovací funkce v bereme z prostoru $V_0 := H_0^1(\Omega) := \overline{C_0^\infty(\Omega)}^{\|\cdot\|_1}$, kde $\|v\|_1 := \int_{\Omega} v(\mathbf{x})^2 + |\nabla v(\mathbf{x})|^2 \, d\mathbf{x}$.

Variační formulace

Variační formulace

Hledáme $u \in V_0$ tak, že

$$\int_{\Omega} \frac{1}{\mu(\mathbf{x})} \nabla u(\mathbf{x}) \nabla v(\mathbf{x}) \, d\mathbf{x} = \int_{\Omega} j(\mathbf{x}) v(\mathbf{x}) \, d\mathbf{x} \quad \forall v \in V_0.$$

Pro tuto úlohu lze dokázat existenci jednoznačného řešení a jeho spojitou závislost na změnách geometrie Ω i materiálové funkce ε .

Energetická formulace

K variační formulaci lze dojít i z principu minima elektrostatické energie

$$\varphi(v) := \frac{1}{2} \int_{\Omega} \frac{1}{\mu(\mathbf{x})} |\nabla v(\mathbf{x})|^2 \, d\mathbf{x} - \int_{\Omega} j(\mathbf{x}) v(\mathbf{x}) \, d\mathbf{x}.$$

Minimum φ nastane ve stacionárním bodě $u \in V_0$, tj. $\forall v \in V_0$:

$$\varphi'(u, v) := \lim_{t \rightarrow 0} \frac{\varphi(u + tv) - \varphi(u)}{t} = \int_{\Omega} \frac{1}{\mu(\mathbf{x})} \nabla u(\mathbf{x}) \nabla v(\mathbf{x}) \, d\mathbf{x} - \int_{\Omega} j(\mathbf{x}) v(\mathbf{x}) \, d\mathbf{x} = 0.$$

Matematické modelování elmg. polí — Magnetostatika

Osnova

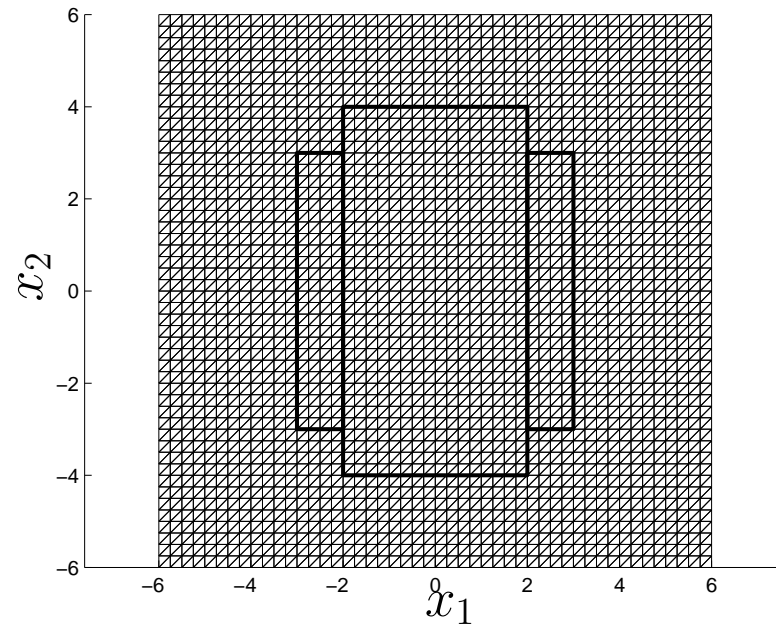
- Magnetostatika
- Modelová úloha
- 2d magnetostatika
 - Variační formulace
 - Metoda konečných prvků
 - Hraniční integrální formulace
 - Metoda hraničních prvků
 - Párování konečných a hraničních prvků
- 3d magnetostatika
 - Variační formulace
 - Metoda konečných prvků

Metoda konečných prvků

Diskretizace oblasti

Nechť $d := 2$. Diskretizujme Ω do m trojúhelníků tak, že sousedé mají společnou hranu nebo bod, hrany zachytí hranice podoblastí a nejostřejší úhel je zdola omezený

$$\overline{\Omega} = \cup_{k=1}^m \overline{T^k}, \quad T^i \cap T^j = \emptyset \text{ pro } i \neq j,$$



Metoda konečných prvků

MKP báze

Nad každým uzlem diskretizace \mathbf{x}_i , $i = 1, 2, \dots, n$ definujeme konečně-prvkovou bázovou funkcí $e_i^h(\mathbf{x}) : \bar{\Omega} \rightarrow \mathbb{R}$ tak, že

$$\forall i \forall k : e_i^h(\mathbf{x})|_{T^k} = a_i^k + b_i^k x_1 + c_i^k x_2 \quad \text{a} \quad e_i^h(\mathbf{x}_j) = \delta_{ij} := \begin{cases} 1, & i = j, \\ 0, & i \neq j, \end{cases}$$

kde $a_i^k, b_i^k, c_i^k \in \mathbb{R}$. Máme aproximaci $V^h := \langle e_1^h(\mathbf{x}), \dots, e_n^h(\mathbf{x}) \rangle$ prostoru $V := H^1(\Omega)$.

MKP aproximace Neumannovy úlohy

MKP aproximace formulace bez okrajové podmínky by byla tato: hledáme $\tilde{u}^h(\mathbf{x}) =$

$$\sum_{j=1}^n \tilde{u}_j e_j^h(\mathbf{x}):$$

$$\tilde{\mathbf{A}} \cdot \tilde{\mathbf{u}} = \tilde{\mathbf{b}}, \quad \text{kde } (\tilde{\mathbf{A}})_{ij} := a(e_j^h, e_i^h), \quad (\tilde{\mathbf{b}})_i := b(e_i^h),$$

kde $a(u, v)$, resp. $b(v)$, je bilineární, resp. lineární, forma na levé, resp. pravé, straně variační rovnice. Řešení této tzv. Neumannovy úlohy není jednoznačné.

Metoda konečných prvků

Sestavení MKP matic a vektorů

Iterujeme přes trojúhelníky a sčítáme lokální matice a vektory pravých stran, tj. např.

$$\tilde{\mathbf{A}} = \sum_{k=1}^m \mathcal{G}^k(\mathbf{A}^k), \quad \tilde{\mathbf{b}} = \sum_{k=1}^m \mathcal{H}^k(\mathbf{b}^k),$$

kde $\mathbf{A}^k \in \mathbb{R}^{3 \times 3}$, $\mathbf{b}^k \in \mathbb{R}^3$ a $\mathcal{G}^k : \mathbb{R}^{3 \times 3} \rightarrow \mathbb{R}^{n \times n}$, zobrazuje lokální matice na globální, $\mathcal{H}^k : \mathbb{R}^3 \rightarrow \mathbb{R}^n$ zobrazuje lokální vektory na globální. Lokální příspěvky jsou tyto:

$$\mathbf{A}^k := \frac{1}{\mu^k} (\mathbf{B}_{\nabla}^k)^T \cdot \mathbf{B}_{\nabla}^k \frac{|\det(\mathbf{R}^k)|}{2},$$
$$\mathbf{b}^k := j^k \frac{1}{2} \begin{pmatrix} 1 \\ 1 \\ 1 \end{pmatrix} \frac{|\det(\mathbf{R}^k)|}{2},$$

kde $\mu^k := \mu(\mathbf{x})|_{T^k}$, $j^k := j(\mathbf{x})|_{T^k}$, $\mathbf{R}^k := (\mathbf{x}^{k_2} - \mathbf{x}^{k_1}, \mathbf{x}^{k_3} - \mathbf{x}^{k_1})$ a \mathbf{x}^{k_1} , \mathbf{x}^{k_2} , \mathbf{x}^{k_3} jsou uzly trojúhelníku T^k uspořádané v pravotočivém smyslu.

Metoda konečných prvků

MKP aproximace homogenní Dirichletovy úlohy

Bud' $I := \{i_1, i_2, \dots, i_p\}$ množina indexů uzlů neležících na hranici $\partial\Omega$. Pak Galerkinovská aproximace naší homogenní Dirichletovy úlohy je:

$$\text{hledáme } u^h(\mathbf{x}) := \sum_{k=1}^{n_0} u_k e^{i_k}(\mathbf{x}) \in V_0^h : a(u^h, e^{i_k}) = b(e^{i_k}) \quad \forall i_k \in I$$

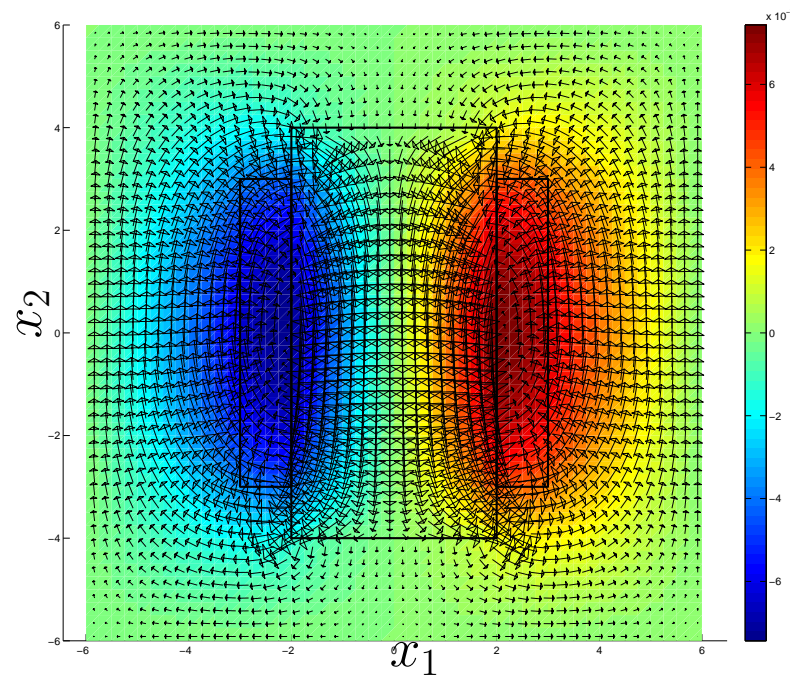
a odpovídající soustava lineárních rovnic vznikne restrikcí předchozí soustavy na I

$$\mathbf{A} \cdot \mathbf{u} = \mathbf{b}, \quad \text{kde } \mathbf{A} := \tilde{\mathbf{A}}_{I,I}, \quad \mathbf{b} := \tilde{\mathbf{b}}_I \text{ a } \mathbf{u} := (u_1, u_2, \dots, u_p).$$

Metoda konečných prvků

Numerické řešení u a \mathbf{B}

Volba $\mu_r := 5000$, $J := 0.25$, $\Omega := (-6, 6) \times (-6, 6)$, $\Omega_- := (-3, -2) \times (-3, 3)$, $\Omega_+ := (2, 3) \times (-3, 3)$, $\Omega_r := (-2, 2) \times (-4, 4)$, s diskretizačním parametrem $h := 0.25$ vede na $n := 2401$ uzlů a $m := 4608$ trojúhelníků.



Matematické modelování elmg. polí — Magnetostatika

Osnova

- Magnetostatika
- Modelová úloha
- 2d magnetostatika
 - Variační formulace
 - Metoda konečných prvků
 - Hraniční integrální formulace
 - Metoda hraničních prvků
 - Párování konečných a hraničních prvků
- 3d magnetostatika
 - Variační formulace
 - Metoda konečných prvků

Hraniční integrální formulace

Metoda potenciálů

Uvažujme $d := 2$ a přeškálujme geometrii tak, že $\text{diam}(\Omega_r \cup \Omega_- \cup \Omega_+) < 1$. Hledáme řešení pomocí potenciálů jednoduché vrstvy

$$u_r(\mathbf{x}) := \int_{\Gamma_r} w_r(\mathbf{y}) g(\mathbf{x}, \mathbf{y}) dl(\mathbf{y}), \quad \mathbf{x} \in \Omega_r,$$

$$u_0(\mathbf{x}) := \int_{\Gamma_r} w_0(\mathbf{y}) g(\mathbf{x}, \mathbf{y}) dl(\mathbf{y}) + \mu_0 j \left(\int_{\Omega_+} g(\mathbf{x}, \mathbf{y}) d\mathbf{y} - \int_{\Omega_-} g(\mathbf{x}, \mathbf{y}) d\mathbf{y} \right), \quad \mathbf{x} \in \Omega_0,$$

kde $\Omega_0 := \mathbb{R}^2 \setminus \overline{\Omega_r \cup \Omega_+ \cup \Omega_-}$, $\Gamma_r := \partial\Omega_r$, $\Gamma_+ := \partial\Omega_+$, $\Gamma_- := \partial\Omega_-$, $g(\mathbf{x}, \mathbf{y}) := -\frac{1}{2\pi} \ln |\mathbf{x} - \mathbf{y}|$ je fundamentální řešení Laplaceovy rovnice a kde $w_r, w_0 : \Gamma_r \rightarrow \mathbb{R}$, $w_+ : \Gamma_+ \rightarrow \mathbb{R}$ a $w_- : \Gamma_- \rightarrow \mathbb{R}$ jsou neznámé hustoty potenciálů. Řešení splňuje

$$-\Delta u_r(\mathbf{x}) = 0, \quad \mathbf{x} \in \Omega_r, \quad -\Delta u_0(\mathbf{x}) = j(\mathbf{x}), \quad \mathbf{x} \in \Omega_0 \quad \text{a} \quad u_0(\mathbf{x}) \rightarrow C, \quad |\mathbf{x}| \rightarrow \infty,$$

kde $C = 0$ díky symetrii úlohy. Zbývá splnit podmínky přechodu.

Hraniční integrální formulace

Vlastnosti potenciálu jednoduché vrstvy

Pro po částech spojitě w_r je $\int_{\Gamma_r} w_r(\mathbf{y}) g(\mathbf{x}, \mathbf{y}) dl(\mathbf{y})$ harmonická funkce v Ω_r a v $\mathbb{R}^2 \setminus \overline{\Omega_r}$.
Pro $\mathbf{x} \in \Gamma_r$ bod spojitosti w_r , v jehož okolí je Γ hladká, platí, že pro $\Omega_r \ni \tilde{\mathbf{x}} \rightarrow \mathbf{x} \in \Gamma_r$:

$$\int_{\Gamma_r} w_r(\mathbf{y}) g(\tilde{\mathbf{x}}, \mathbf{y}) dl(\mathbf{y}) \rightarrow \int_{\Gamma_r} w_r(\mathbf{y}) g(\mathbf{x}, \mathbf{y}) dl(\mathbf{y}),$$
$$\mathbf{n}_r(\mathbf{x}) \cdot \nabla_{\tilde{\mathbf{x}}} \int_{\Gamma_r} w_r(\mathbf{y}) g(\tilde{\mathbf{x}}, \mathbf{y}) dl(\mathbf{y}) \rightarrow \frac{1}{2} w_r(\mathbf{x}) + \int_{\Gamma_r} w_r(\mathbf{y}) \frac{\partial g(\mathbf{x}, \mathbf{y})}{\partial \mathbf{n}(\mathbf{x})} dl(\mathbf{y}).$$

přičemž $\partial/\partial \mathbf{n}(\mathbf{x})$ je derivace podle vnější jednotkové normály k Ω_r . Podobně platí pro spojitě w_0 a $\Omega_0 \ni \tilde{\mathbf{x}} \rightarrow \mathbf{x} \in \Gamma_r$:

$$\int_{\Gamma_r} w_0(\mathbf{y}) g(\tilde{\mathbf{x}}, \mathbf{y}) dl(\mathbf{y}) \rightarrow \int_{\Gamma_r} w_0(\mathbf{y}) g(\mathbf{x}, \mathbf{y}) dl(\mathbf{y}),$$
$$\mathbf{n}_r(\mathbf{x}) \cdot \nabla_{\tilde{\mathbf{x}}} \int_{\Gamma_r} w_0(\mathbf{y}) g(\tilde{\mathbf{x}}, \mathbf{y}) dl(\mathbf{y}) \rightarrow -\frac{1}{2} w_0(\mathbf{x}) + \int_{\Gamma_r} w_0(\mathbf{y}) \frac{\partial g(\mathbf{x}, \mathbf{y})}{\partial \mathbf{n}(\mathbf{x})} dl(\mathbf{y}).$$

Hraniční integrální formulace

Vlastnosti Newtonova potenciálu

Newtonův objemový potenciál je spojitý i se svou normálovou derivací nezávisle, zda se k hranici blížíme zevnitř, či zvenku, tedy pro $\Gamma_r \ni \tilde{\mathbf{x}} \rightarrow \mathbf{x} \in \Gamma_r$:

$$\int_{\Omega_{\pm}} g(\tilde{\mathbf{x}}, \mathbf{y}) dl(\mathbf{x}) \rightarrow \int_{\Omega_{\pm}} g(\mathbf{x}, \mathbf{y}) dl(\mathbf{x}),$$
$$\mathbf{n}_r(\mathbf{x}) \cdot \nabla_{\tilde{\mathbf{x}}} \int_{\Omega_{\pm}} g(\tilde{\mathbf{x}}, \mathbf{y}) dl(\mathbf{x}) \rightarrow \int_{\Omega_{\pm}} \frac{\partial g(\mathbf{x}, \mathbf{y})}{\partial \mathbf{n}(\mathbf{x})} dl(\mathbf{x})$$

Hraniční integrální formulace

Formulace

Pro $\mathbf{x} \in \mathbb{R}^2$, resp. $\mathbf{x} \in \Gamma_r$ (až na rohy), zavedme operátory

$$[V_r w](\mathbf{x}) := \int_{\Gamma_r} w(\mathbf{y}) g(\mathbf{x}, \mathbf{y}) dl(\mathbf{y}), \quad [K_r w](\mathbf{x}) := \int_{\Gamma_r} w(\mathbf{y}) \frac{\partial g(\mathbf{x}, \mathbf{y})}{\partial \mathbf{n}(\mathbf{x})} dl(\mathbf{y})$$

a funkce

$$N(\mathbf{x}) := \mu_0 j \left(\int_{\Omega_+} g(\mathbf{x}, \mathbf{y}) d\mathbf{y} - \int_{\Omega_-} g(\mathbf{x}, \mathbf{y}) d\mathbf{y} \right),$$
$$M(\mathbf{x}) := \mu_0 j \left(\int_{\Omega_+} \frac{\partial g(\mathbf{x}, \mathbf{y})}{\partial \mathbf{n}(\mathbf{x})} d\mathbf{y} - \int_{\Omega_-} \frac{\partial g(\mathbf{x}, \mathbf{y})}{\partial \mathbf{n}(\mathbf{x})} d\mathbf{y} \right)$$

Pak podmínky přechodu dávají následující hraniční integrální formulaci

$$\begin{cases} V_r w_r - V_r w_0 = N, & \mathbf{x} \in \Gamma_r, \\ -\frac{1}{\mu_r} \left(\frac{1}{2} I + K_r \right) w_r - \left(-\frac{1}{2} I + K_r \right) w_0 = M, & \mathbf{x} \in \Gamma_r, \end{cases}$$

kde I značí identické zobrazení.

Matematické modelování elmg. polí — Magnetostatika

Osnova

- Magnetostatika
- Modelová úloha
- 2d magnetostatika
 - Variační formulace
 - Metoda konečných prvků
 - Hraniční integrální formulace
 - Metoda hraničních prvků
 - Párování konečných a hraničních prvků
- 3d magnetostatika
 - Variační formulace
 - Metoda konečných prvků

Metoda hraničních prvků

Diskretizace hranic

Diskretizujme Γ_r do disjunktních úseček

$$\bigcup_{k=1}^{m_r} \overline{S_r^k} = \Gamma_r$$

a uvažujme po úsečkách konstantní bázové funkce f_r^i tak, že

$$f_r^i(\mathbf{x})|_{S_r^j} = \delta_{ij} \text{ pro } i, j = 1, \dots, m_r.$$

Hledáme souřadnice neznámých hustot $\mathbf{w}_r, \mathbf{w}_0 \in \mathbb{R}^m$

$$w_r(\mathbf{x}) := \sum_{k=1}^{m_r} w_{rk} f_r^k(\mathbf{x}), \quad w_0(\mathbf{x}) := \sum_{k=1}^{m_r} w_{0k} f_r^k(\mathbf{x}).$$

Metoda hraničních prvků

Kolokační metoda

Rovnice splníme pouze ve středech úseček $\mathbf{x}_r^k \in S_r^k$

$$\begin{pmatrix} \mathbf{V}_{r,r} & -\mathbf{V}_{r,r} \\ -\frac{1}{\mu_r} \left(\frac{1}{2} \mathbf{I}_r + \mathbf{K}_{r,r} \right) & \frac{1}{2} \mathbf{I}_r - \mathbf{K}_{r,r} \end{pmatrix} \cdot \begin{pmatrix} \mathbf{w}_r \\ \mathbf{w}_0 \end{pmatrix} = \begin{pmatrix} \mathbf{N} \\ \mathbf{M} \end{pmatrix}, \quad (1)$$

kde $\mathbf{I}_r \in \mathbb{R}^{m_r \times m_r}$ je jednotková matice a kde $(\mathbf{V}_{r,r})_{ij} := \int_{S_r^j} g(\mathbf{x}_r^i, \mathbf{y}) dl(\mathbf{y})$, $(\mathbf{K}_{r,r})_{ij} := \int_{S_r^j} \nabla_{\mathbf{x}} g(\mathbf{x}_r^i, \mathbf{y}) \cdot \mathbf{n}_r^j dl(\mathbf{y})$, $(\mathbf{N})_i := N(\mathbf{x}_r^i)$, $(\mathbf{M})_i := M(\mathbf{x}_r^i)$, přičemž \mathbf{n}_r^j značí jednotkovou normálu k S_r^j směřující ven z Ω_r .

Metoda hraničních prvků

Výpočet prvků vektorů \mathbf{N}

Prvky matic $\mathbf{V}_{r,r}$ a $\mathbf{K}_{r,r}$ vypočteme stejně jako v kapitole Elektrostatika. Při výpočtu \mathbf{N} použijeme následující integrál:

$$\int_a^b \int_c^d \ln |\mathbf{x} - \mathbf{y}|^2 dy_2 dy_1 = F_1(a) - F_1(b) - F_2(a, c) + F_2(a, d) + F_2(b, c) - F_2(b, d) + \\ + F_3(a, c) - F_3(a, d) - F_3(b, c) + F_3(b, d) - 3(b - a)(d - c),$$

kde

$$F_1(y_1) := \frac{\pi}{2} \operatorname{sgn}(y_1 - x_1) y_1 (y_1 - 2x_1) (\operatorname{sgn}(c - x_2) - \operatorname{sgn}(d - x_2)),$$

$$F_2(y_1, y_2) := \left((y_1 - x_1)^2 - (y_2 - x_2)^2 \right) \operatorname{arctg} \frac{y_1 - x_1}{y_2 - x_2},$$

$$F_3(y_1, y_2) := (y_1 - x_1)(y_2 - x_2) \ln |\mathbf{x} - \mathbf{y}|^2$$

Metoda hraničních prvků

Výpočet prvků vektorů \mathbf{M}

Při výpočtu \mathbf{M} použijeme tento integrál:

$$\int_a^b \int_c^d \nabla_{\mathbf{x}} \ln |\mathbf{x} - \mathbf{y}| \cdot \mathbf{n} \, dy_2 \, dy_1 = \int_a^b \int_c^d \frac{(\mathbf{x} - \mathbf{y}) \cdot \mathbf{n}}{|\mathbf{x} - \mathbf{y}|^2} \, dy_2 \, dy_1 = G_1(a) - G_1(b) + \\ + G_2(a, c) - G_2(a, d) - G_2(b, c) + G_2(b, d) - G_3(a, c) + G_3(a, d) + G_3(b, c) - G_3(b, d),$$

kde

$$G_1(y_1) := \frac{\pi}{2} |y_1 - x_1| n_1 (\operatorname{sgn}(d - x_2) - \operatorname{sgn}(c - x_2)),$$

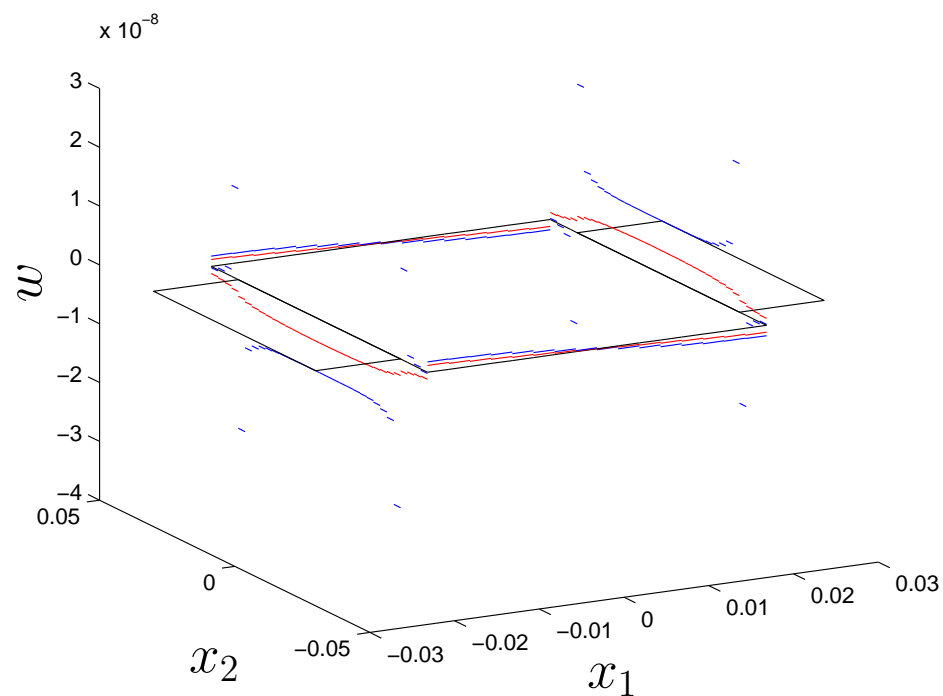
$$G_2(y_1, y_2) := ((y_1 - x_1)n_1 - (y_2 - x_2)n_2) \operatorname{arctg} \frac{y_1 - x_1}{y_2 - x_2},$$

$$G_3(y_1, y_2) := \frac{1}{2} ((y_1 - x_1)n_2 + (y_2 - x_2)n_1) \ln |\mathbf{x} - \mathbf{y}|^2.$$

Metoda hraničních prvků

Numerické řešení w_r a w_0

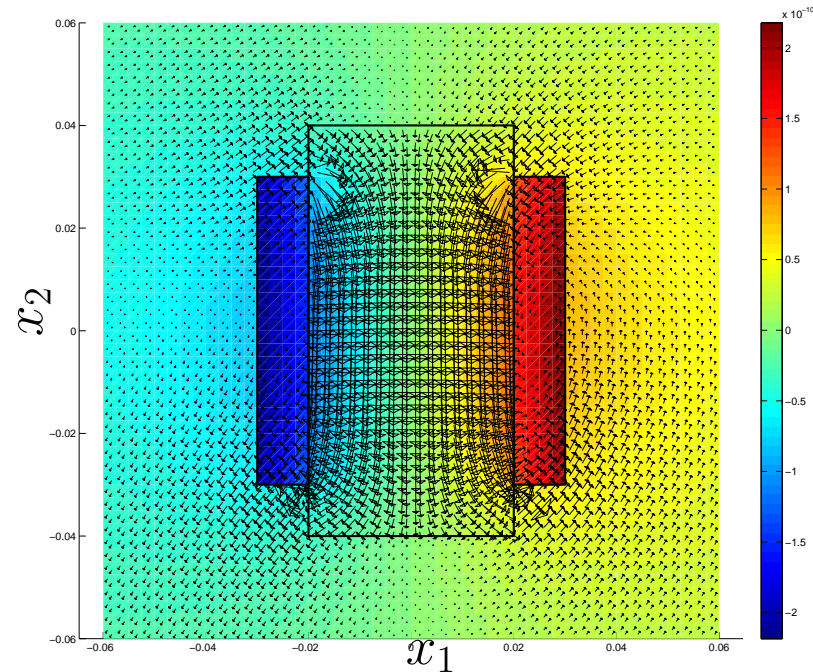
Volba $\mu_r := 5000$, $J := 0.25$, $\Omega := (-0.06, 0.06) \times (-0.06, 0.06)$, $\Omega_- := (-0.03, -0.02) \times (-0.03, 0.03)$, $\Omega_+ := (0.02, 0.03) \times (-0.03, 0.03)$, $\Omega_r := (-0.02, 0.02) \times (-0.04, 0.04)$, $h := 0.0025$ vede na $m_r := 96$ úseček.



Metoda hraničních prvků

Numerické řešení u a B

Volba $\mu_r := 5000$, $J := 0.25$, $\Omega := (-0.06, 0.06) \times (-0.06, 0.06)$, $\Omega_- := (-0.03, -0.02) \times (-0.03, 0.03)$, $\Omega_+ := (0.02, 0.03) \times (-0.03, 0.03)$, $\Omega_r := (-0.02, 0.02) \times (-0.04, 0.04)$, $h := 0.0025$ vede na $m_r := 96$ úseček.



Matematické modelování elmg. polí — Magnetostatika

Osnova

- Magnetostatika
- Modelová úloha
- 2d magnetostatika
 - Variační formulace
 - Metoda konečných prvků
 - Hraniční integrální formulace
 - Metoda hraničních prvků
 - Párování konečných a hraničních prvků
- 3d magnetostatika
 - Variační formulace
 - Metoda konečných prvků

Párování konečných a hraničních prvků

Odvození formulace

Základem párování je následující variační rovnice na oblasti Ω_r :

$$\frac{1}{\mu_r} \int_{\Omega_r} -\Delta u_r(\mathbf{x}) v(\mathbf{x}) d\mathbf{x} = \int_{\Omega_r} \frac{1}{\mu_r} \nabla u_r(\mathbf{x}) \nabla v(\mathbf{x}) d\mathbf{x} - \int_{\Gamma_r} \frac{1}{\mu_r} \frac{\partial u_r(\mathbf{x})}{\partial \mathbf{n}(\mathbf{x})} v(\mathbf{x}) dl(\mathbf{x}) = 0,$$

v níž nahradíme tok u_r přes Γ_r tokem u_0

$$\int_{\Omega_r} \frac{1}{\mu_r} \nabla u_r(\mathbf{x}) \nabla v(\mathbf{x}) d\mathbf{x} - \int_{\Gamma_r} \frac{\partial u_0(\mathbf{x})}{\partial \mathbf{n}(\mathbf{x})} v(\mathbf{x}) dl(\mathbf{x}) = 0.$$

Řešení u_0 hledáme opět v následujícím tvaru

$$u_0(\mathbf{x}) := \int_{\Gamma_r} w_0(\mathbf{y}) g(\mathbf{x}, \mathbf{y}) dl(\mathbf{y}) + \mu_0 j \left(\int_{\Omega_+} g(\mathbf{x}, \mathbf{y}) d\mathbf{y} - \int_{\Omega_-} g(\mathbf{x}, \mathbf{y}) d\mathbf{y} \right),$$

kde $\mathbf{x} \in \mathbb{R}^2 \setminus \Omega_r$. Zbývá zaručit spojitost řešení

$$u_r(\mathbf{x}) - u_0(\mathbf{x}) = 0, \quad \mathbf{x} \in \Gamma_r.$$

Párování konečných a hraničních prvků

Odvození formulace

S využitím symbolů V_r , K_r , jeho skoku a definic N a M : hledáme $u_r \in \mathcal{V}_r := H^1(\Omega_r)$ a $w_0 : \Gamma_r \rightarrow \mathbb{R}$ tak, že

$$\begin{cases} a_r(u_r, v) - b_r\left(\left(-\frac{1}{2}I + L_r\right)w_0, v\right) = b_r(M, v) & \forall v \in \mathcal{V}_r, \\ u_r - V_r w_0 = N & \forall \mathbf{x} \in \Gamma_r, \end{cases}$$

kde I je identita a kde

$$a_r(u_r, v) := \int_{\Omega_r} \frac{1}{\mu_r} \nabla u_r \nabla v \, d\mathbf{x}, \quad b_r(u, v) := \int_{\Gamma_r} u v \, dl(\mathbf{x}).$$

Galerkinova formulace úlohy

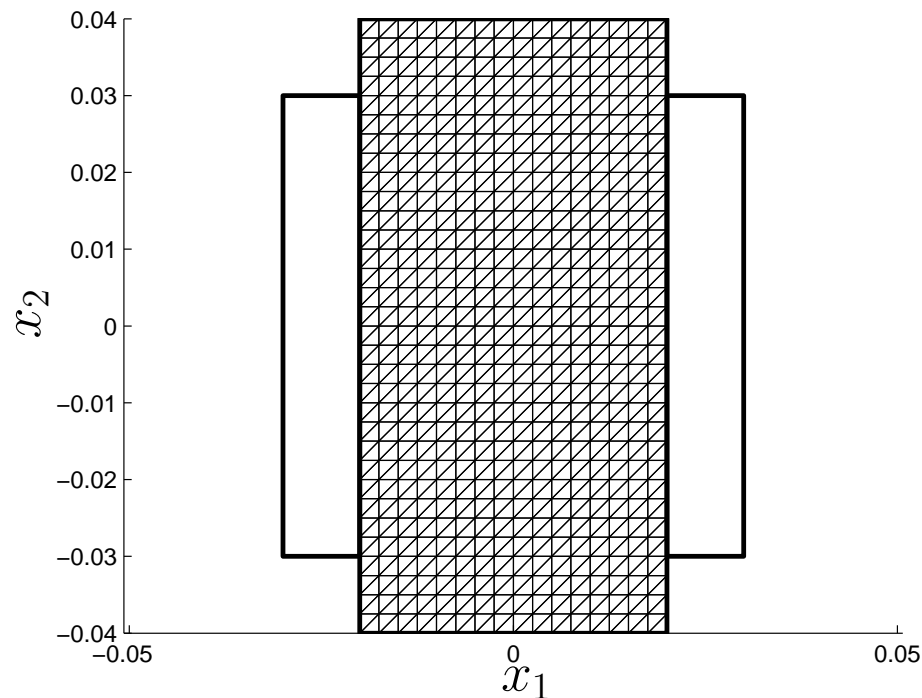
Zavedme $\mathcal{W}_r := H^{1/2}(\Gamma_r)$ Sobolevův prostor stop na Γ_r . Hledáme $u_r \in \mathcal{V}_r$ a $w_0 \in \mathcal{W}_r$:

$$\begin{cases} a_r(u_r, v) - b_r\left(\left(-\frac{1}{2}I + L_r\right)w_0, v\right) = b_r(M, v) & \forall v \in \mathcal{V}_r, \\ b_r(u_r, q) - b_r(V_r w_0, q) = b_r(N, q) & \forall q \in \mathcal{W}_r. \end{cases}$$

Párování konečných a hraničních prvků

Konečně-prvková diskretizace

Diskretizace \mathcal{V}_r metodou konečných prvků vede na triangulaci Ω_r do m_r trojúhelníků T^k , v jejichž uzlech \mathbf{x}_i , $i \in \{1, 2, \dots, n_r\}$, definujeme konečně-prvkové bázové funkce e_i^h . Máme aproximaci $\mathcal{V}_r^h \subset \mathcal{V}_r$. Bilineární forma $a_r(\cdot, \cdot)$ vede na matici $\mathbf{A}_r \in \mathbb{R}^{n_r \times n_r}$.



Párování konečných a hraničních prvků

Hraničně–prvková diskretizace

Diskretizace prostoru \mathcal{W}_r metodou hraničních prvků je indukována předchozí triangulací Ω_r . To vede na s_r hraničních úseček S_r^i a p_r hraničních uzlů $\mathbf{x}_{i_1}, \dots, \mathbf{x}_{i_{p_r}}$, kde $i_k \in \{1, 2, \dots, n_r\}$. Nad úsečkami S_r^i definujeme hraničně–prvkové nespojitě po částech konstantní bázové funkce f_r^i , jejichž lineární obal nám dá prostor $\mathcal{W}_r^h \subset \mathcal{W}_r$. Při diskretizaci MHP bilineární formy $b_r(\cdot, \cdot)$ použijeme nejhrubší kvadrurní formuli, a to obdélníkové pravidlo

$$\int_{S_r^k} f(\mathbf{x}) d\mathbf{x} \approx f(\mathbf{x}_r^k) |S_r^k|,$$

kde \mathbf{x}_r^k je střed úsečky S_r^k a $|S_r^k|$ je její délka. To nám umožní využít již napočítané prvky matic $\mathbf{V}_{r,r}$, $\mathbf{K}_{r,r}$ a vektorů \mathbf{N} , \mathbf{M} .

Párování konečných a hraničních prvků

Galerkinova metoda

Párováním vede na

$$\begin{pmatrix} \mathbf{A}_r & \mathbf{B}_r \\ \mathbf{C}_r & \mathbf{D}_r \end{pmatrix} \cdot \begin{pmatrix} \mathbf{u}_r \\ \mathbf{w}_0 \end{pmatrix} = \begin{pmatrix} \mathbf{b}_r \\ \mathbf{c}_r \end{pmatrix}.$$

kde řádky $\mathbf{B}_r \in \mathbb{R}^{n_r \times s_r}$ a složky $\mathbf{b} \in \mathbb{R}^{n_r}$ jsou

$$(\mathbf{B}_r)_{i,*} := \frac{1}{2} |S_r^i| \sum_{k=1}^2 \left(\frac{1}{2} \mathbf{I}_r - \mathbf{K}_{r,r} \right)_{i_k,*}, \quad (\mathbf{b}_r)_i := \frac{1}{2} |S_r^i| \sum_{k=1}^2 (\mathbf{M})_{i_k}.$$

přičemž $i_1, i_2 \in \{1, 2, \dots, p_r\}$ jsou hraniční indexy uzlů S_r^i . Dále $\mathbf{C}_r \in \mathbb{R}^{s_r \times n_r}$

$$(\mathbf{C}_r)_{i,j} := \begin{cases} \frac{1}{2} |S_r^i|, & \text{pokud } \mathbf{x}_j, j \in \{1, 2, \dots, n_r\}, \text{ je jeden ze dvou uzlů } S_r^i, \\ 0, & \text{jinak.} \end{cases}$$

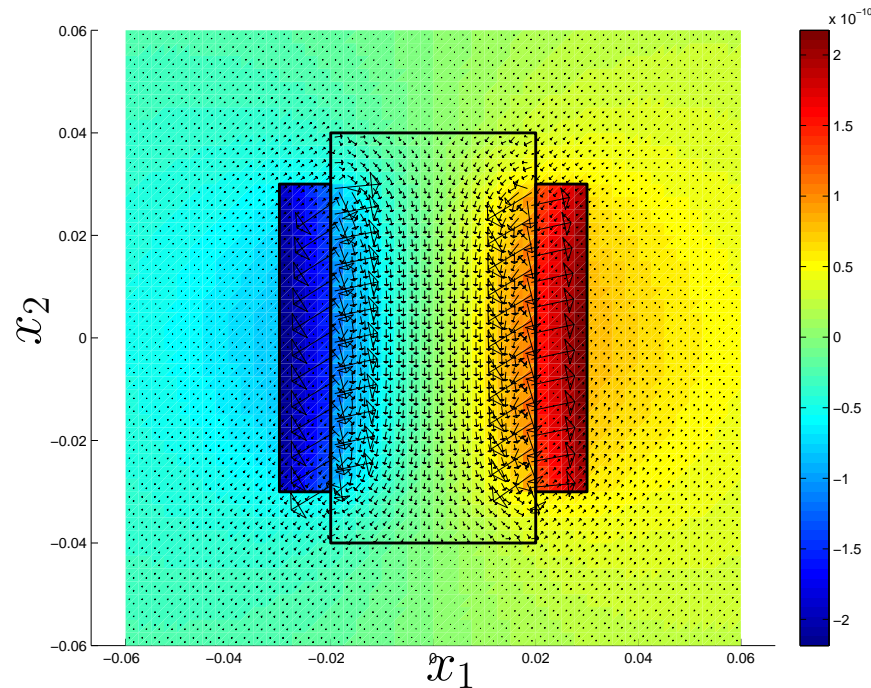
Konečně matice $\mathbf{D}_r \in \mathbb{R}^{s_r \times s_r}$ a vektor $\mathbf{c}_r \in \mathbb{R}^{s_r}$ jsou definovány po řádcích takto:

$$(\mathbf{D}_r)_{i,*} := -|S_r^i| (\mathbf{V}_{r,r})_{i,*}, \quad (\mathbf{c}_r)_i := |S_r^i| (\mathbf{N})_i.$$

Párování konečných a hraničních prvků

Numerické řešení u a B

Volba $\mu_r := 5000$, $J := 0.25$, $\Omega_r := (-0.02, 0.02) \times (-0.04, 0.04)$, $\Omega_- := (-0.03, -0.02) \times (-0.03, 0.03)$, $\Omega_+ := (0.02, 0.03) \times (-0.03, 0.03)$, $h := 0.0025$ vede na $n_r := 544$ MKP uzlů a $s_r := 96$ MHP úseček.



Matematické modelování elmg. polí — Magnetostatika

Osnova

- Magnetostatika
- Modelová úloha
- 2d magnetostatika
 - Variační formulace
 - Metoda konečných prvků
 - Hraniční integrální formulace
 - Metoda hraničních prvků
 - Párování konečných a hraničních prvků
- 3d magnetostatika
 - Variační formulace
 - Metoda konečných prvků

Variační formulace

Ořezání výpočetní oblasti

Uvažujme $d := 3$, $\Omega \subset \mathbb{R}^2$ pokrývající Ω_r a Ω_j a necht'

$$\mathbf{u}(\mathbf{x}) \times \mathbf{n}(\mathbf{x}) = 0 \quad \text{pro } \mathbf{x} \in \partial\Omega.$$

Neuvažujeme tedy nadále neomezenou oblast. Dopusťme se tím [chyby v modelování!](#)

Zjednodušme zápis geometrie, konstanty μ_r a řešení takto:

$$\mu(\mathbf{x}) := \begin{cases} \mu_0 \mu_r, & \mathbf{x} \in \Omega_r, \\ \mu_0, & \mathbf{x} \in \mathbb{R}^2 \setminus \overline{\Omega_r}, \end{cases} \quad \mathbf{u}(\mathbf{x}) = \begin{cases} \mathbf{u}_r(\mathbf{x}), & \mathbf{x} \in \Omega_r, \\ \mathbf{u}_0(\mathbf{x}), & \mathbf{x} \in \Omega_0 := \Omega \setminus \overline{\Omega_r}. \end{cases}$$

Variační formulace

Greenova věta

Pro spoj. dif. funkce $\varphi, \psi : \bar{\omega} \rightarrow \mathbb{R}$ a pěkné $\omega \subset \mathbb{R}^d$ s vnější jedn. normálou $\mathbf{n}(\mathbf{x})$ platí:

$$\int_{\omega} \frac{\partial \varphi(\mathbf{x})}{\partial x_i} \psi(\mathbf{x}) d\mathbf{x} = - \int_{\omega} \varphi(\mathbf{x}) \frac{\partial \psi(\mathbf{x})}{\partial x_i} d\mathbf{x} + \int_{\partial \omega} \varphi(\mathbf{x}) \psi(\mathbf{x}) n_i(\mathbf{x}) dS(\mathbf{x}).$$

Opakovaným použitím si odvodíme analogii Greenovy formule pro operátor **rot**

$$\begin{aligned} \int_{\Omega} \mathbf{rot}(\mathbf{w}) \cdot \mathbf{v} &= \int_{\Omega} \left[\left(\frac{\partial w_3}{\partial x_2} - \frac{\partial w_2}{\partial x_3} \right) v_1 + \left(\frac{\partial w_1}{\partial x_3} - \frac{\partial w_3}{\partial x_1} \right) v_2 + \left(\frac{\partial w_2}{\partial x_1} - \frac{\partial w_1}{\partial x_2} \right) v_3 \right] = \\ &= - \int_{\Omega} \left[\left(w_3 \frac{\partial v_1}{\partial x_2} - w_2 \frac{\partial v_1}{\partial x_3} \right) + \left(w_1 \frac{\partial v_2}{\partial x_3} - w_3 \frac{\partial v_2}{\partial x_1} \right) + \left(w_2 \frac{\partial v_3}{\partial x_1} - w_1 \frac{\partial v_3}{\partial x_2} \right) \right] + \\ &\quad + \int_{\partial \Omega} [(w_3 n_2 - w_2 n_3) v_1 + (w_1 n_3 - w_3 n_1) v_2 + (w_2 n_1 - w_1 n_2) v_3] = \\ &= - \int_{\Omega} \mathbf{w} \cdot (-\mathbf{rot}(\mathbf{v})) - \int_{\partial \Omega} (\mathbf{w} \times \mathbf{n}) \cdot \mathbf{v} = \int_{\Omega} \mathbf{w} \cdot \mathbf{rot}(\mathbf{v}) + \int_{\partial \Omega} \mathbf{w} \cdot (\mathbf{v} \times \mathbf{n}). \end{aligned}$$

Variační formulace

Odvození variační formulace

Vezměme dif. funkci $\mathbf{v} : \bar{\Omega} \rightarrow \mathbb{R}^3$, $\mathbf{v}(\mathbf{x}) \times \mathbf{n}(\mathbf{x}) = 0$ pro $\mathbf{x} \in \partial\Omega$. Z první rovnice

$$\int_{\Omega_r} \frac{1}{\mu_0 \mu_r(\mathbf{x})} \mathbf{rot}(\mathbf{rot}(\mathbf{u}_r(\mathbf{x}))) \cdot \mathbf{v}(\mathbf{x}) d\mathbf{x} = 0$$

a aplikací Greenovy věty dostáváme

$$\int_{\Omega_r} \frac{1}{\mu_0 \mu_r(\mathbf{x})} \mathbf{rot}(\mathbf{u}_r(\mathbf{x})) \cdot \nabla v(\mathbf{x}) d\mathbf{x} - \int_{\partial\Omega_r} \frac{1}{\mu_0 \mu_r(\mathbf{x})} \mathbf{rot}(\mathbf{u}_r(\mathbf{x})) \cdot (\mathbf{v}(\mathbf{x}) \times \mathbf{n}(\mathbf{x})) dS(\mathbf{x}) = 0.$$

Podobně přenásobíme v a $1/\mu_0$ druhou rovnicí, zintegrujeme ji a z Greenovy věty

$$\int_{\Omega_0} \frac{1}{\mu_0} \mathbf{rot}(\mathbf{u}_0(\mathbf{x})) \cdot \nabla v(\mathbf{x}) d\mathbf{x} - \int_{\partial\Omega_0} \frac{1}{\mu_0} \mathbf{rot}(\mathbf{u}_0(\mathbf{x})) \cdot (\mathbf{v}(\mathbf{x}) \times \mathbf{n}(\mathbf{x})) dS(\mathbf{x}) = \int_{\Omega_j} \mathbf{j}(\mathbf{x}) \cdot \mathbf{v}(\mathbf{x}) d\mathbf{x}.$$

Variační formulace

Odvození variační formulace (pokrač.)

Sečteme předchozí rovnice s vědomím, že normály k Ω_r a k Ω_0 na $\partial\Omega_r \cap \partial\Omega_0$ jsou opačné

$$\begin{aligned} & \int_{\Omega} \frac{1}{\mu(\mathbf{x})} \mathbf{rot}(\mathbf{u}(\mathbf{x})) \cdot \mathbf{rot}(\mathbf{v}(\mathbf{x})) \, d\mathbf{x} + \int_{\partial\Omega} \frac{1}{\mu_0} \mathbf{rot}(\mathbf{u}_0(\mathbf{x})) \cdot (\mathbf{v}(\mathbf{x}) \times \mathbf{n}(\mathbf{x})) \, dS(\mathbf{x}) + \\ & + \int_{\partial\Omega_r} \frac{1}{\mu_0} \left(\left(\mathbf{rot}(\mathbf{u}_0(\mathbf{x})) - \frac{1}{\mu_r(\mathbf{x})} \mathbf{rot}(\mathbf{u}_r(\mathbf{x})) \right) \times \mathbf{n}(\mathbf{x}) \right) \cdot \mathbf{v}(\mathbf{x}) \, dS(\mathbf{x}) = \int_{\Omega} \mathbf{j}(\mathbf{x}) \cdot \mathbf{v}(\mathbf{x}) \, d\mathbf{x}. \end{aligned}$$

Použijeme $\mathbf{v} \times \mathbf{n} = 0$ na $\partial\Omega$ a definice $\mathbf{j}(\mathbf{x})$, $\mu(\mathbf{x})$ a $\mathbf{u}(\mathbf{x})$ a dostáváme variační rovnici

$$\int_{\Omega} \frac{1}{\mu(\mathbf{x})} \mathbf{rot}(\mathbf{u}(\mathbf{x})) \cdot \mathbf{rot}(\mathbf{v}(\mathbf{x})) \, d\mathbf{x} = \int_{\Omega} \mathbf{j}(\mathbf{x}) \cdot \mathbf{v}(\mathbf{x}) \, d\mathbf{x}.$$

Řešení \mathbf{u} i testovací funkce \mathbf{v} bereme z prostoru $\mathbf{V}_0 := \mathbf{H}_0(\mathbf{rot}; \Omega) := \overline{C_0^\infty(\Omega)}^{\|\cdot\|_{\mathbf{rot}}}$,
kde $\|v\|_{\mathbf{rot}} := \int_{\Omega} |\mathbf{v}(\mathbf{x})|^2 + |\mathbf{rot}(\mathbf{v}(\mathbf{x}))|^2 \, d\mathbf{x}$.

Variační formulace

Odvození variační formulace (pokrač.)

Potenciál \mathbf{u} je jednoznačný až na libovolné gradientní pole $\nabla\varphi$. Minimalizujme

$$E(\mathbf{v}) := \frac{1}{2} \int_{\Omega} \frac{1}{\mu(\mathbf{x})} |\mathbf{rot}(\mathbf{v}(\mathbf{x}))|^2 d\mathbf{x} - \int_{\Omega} \mathbf{j}(\mathbf{x}) \cdot \mathbf{v}(\mathbf{x}) d\mathbf{x},$$

jehož nekonečně mnoho stacionárních bodů $\tilde{\mathbf{u}} = \mathbf{u} + \nabla\varphi \in \mathbf{V}_0$ jsou řešením rovnice

$$E'(\mathbf{u} + \nabla\varphi, \mathbf{v}) = 0 \quad \forall \mathbf{v} \in \mathbf{V}_0.$$

Jednoznačnost dodá Coulombova kalibrační podmínka: hledáme $\mathbf{u} \in \mathbf{V}_0$ tak, že

$$\forall \mathbf{v} \in \mathbf{V}_0 : E(\mathbf{u}) \leq E(\mathbf{v}) \text{ vzhledem k } \operatorname{div}(\mathbf{u}) = 0,$$

přičemž kalibrační podmínku chápeme ve slabém smyslu. Hledáme $\mathbf{u} \in \mathbf{V}_0$ a $\lambda \in V_0 := H_0^1(\Omega)$ tak, že

$$\begin{cases} \int_{\Omega} \frac{1}{\mu} \mathbf{rot}(\mathbf{u}) \cdot \mathbf{rot}(\mathbf{v}) + \int_{\Omega} \nabla\lambda \cdot \mathbf{v} = \int_{\Omega} \mathbf{j} \cdot \mathbf{v} & \forall \mathbf{v} \in \mathbf{V}_0, \\ \int_{\Omega} \mathbf{u} \cdot \nabla\varphi = 0 & \forall \varphi \in V_0. \end{cases}$$

Matematické modelování elmg. polí — Magnetostatika

Osnova

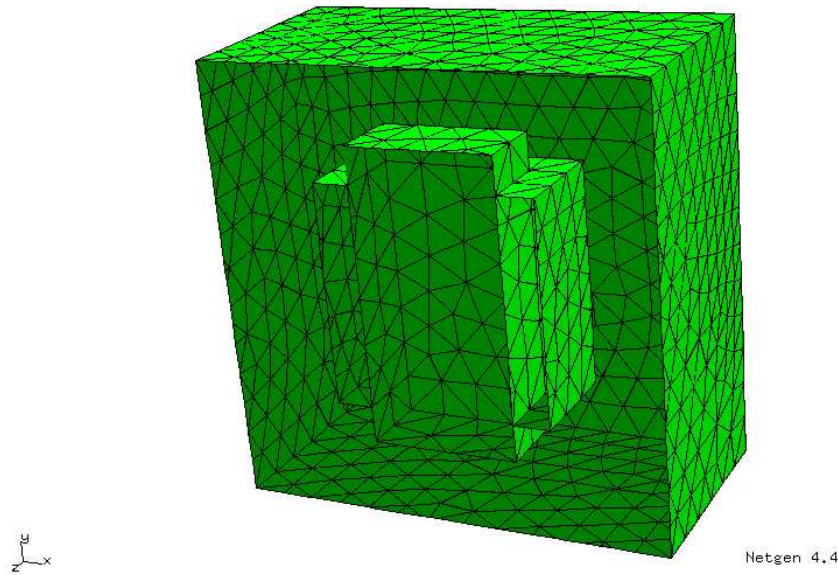
- Magnetostatika
- Modelová úloha
- 2d magnetostatika
 - Variační formulace
 - Metoda konečných prvků
 - Hraniční integrální formulace
 - Metoda hraničních prvků
 - Párování konečných a hraničních prvků
- 3d magnetostatika
 - Variační formulace
 - Metoda konečných prvků

Metoda konečných prvků

Diskretizace oblasti

Nechť $d := 3$. Diskretizujme Ω do m čtyřstěňů tak, že sousedé mají společnou stěnu, hranu, nebo bod, stěny zachytí hranice podoblastí a nejostřejší úhel je zdola omezený

$$\overline{\Omega} = \cup_{k=1}^m \overline{T^k}, \quad T^i \cap T^j = \emptyset \text{ pro } i \neq j.$$



Metoda konečných prvků

MKP aproximace $V := H^1(\Omega)$

Nad každým uzlem diskretizace \mathbf{x}_i , $i = 1, 2, \dots, n$ definujeme konečně-prvkovou bázovou funkcí $e_i^h(\mathbf{x}) : \bar{\Omega} \rightarrow \mathbb{R}$ tak, že

$$\forall i \forall k : e_i^h(\mathbf{x})|_{T^k} = a_i^k + b_i^k x_1 + c_i^k x_2 + d_i^k x_3 \quad \text{a} \quad e_i^h(\mathbf{x}_j) = \delta_{ij} := \begin{cases} 1, & i = j, \\ 0, & i \neq j, \end{cases}$$

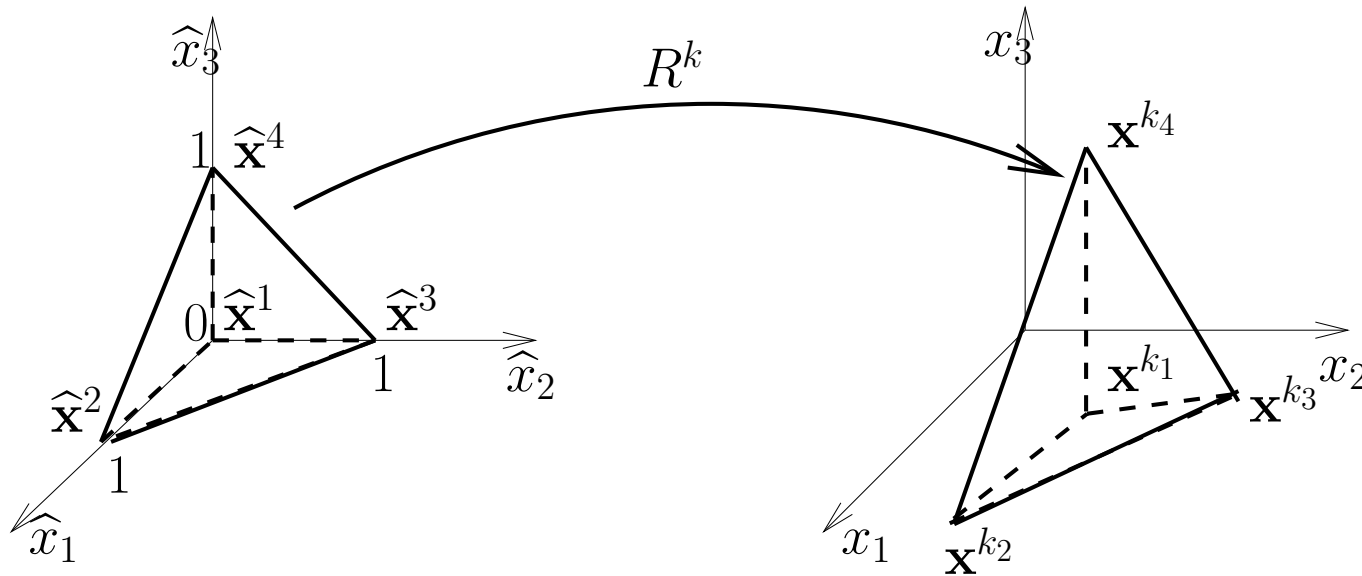
kde $a_i^k, b_i^k, c_i^k, d_i^k \in \mathbb{R}$. Máme aproximaci $V^h := \langle e_1^h(\mathbf{x}), \dots, e_n^h(\mathbf{x}) \rangle$ prostoru V .

Metoda konečných prvků

Lokální báze funkce V^h

Zobrazme \hat{T} s vrcholy (uzly) $\hat{\mathbf{x}}^1, \hat{\mathbf{x}}^2, \hat{\mathbf{x}}^3$ a $\hat{\mathbf{x}}^4$ na T^k s vrcholy $\mathbf{x}^{k_1}, \mathbf{x}^{k_2}, \mathbf{x}^{k_3}$ a \mathbf{x}^{k_4}

$$\mathbf{x} := R^k(\hat{\mathbf{x}}) := \mathbf{R}^k \cdot \hat{\mathbf{x}} + \mathbf{x}^{k_1}, \quad \text{kde } \mathbf{R}^k := (\mathbf{x}^{k_2} - \mathbf{x}^{k_1}, \mathbf{x}^{k_3} - \mathbf{x}^{k_1}, \mathbf{x}^{k_4} - \mathbf{x}^{k_1}).$$



Pak $e^{k_i}(\mathbf{x}) := \hat{e}^i(\hat{\mathbf{x}})$ pro $i \in \{1, 2, 3, 4\}$ a $\hat{\mathbf{x}} \in \hat{T}$ při substituci $\mathbf{x} := R^k(\hat{\mathbf{x}})$, kde

$$\hat{e}^1(\hat{\mathbf{x}}) := 1 - \hat{x}_1 - \hat{x}_2 - \hat{x}_3, \quad \hat{e}^2(\hat{\mathbf{x}}) := \hat{x}_1, \quad \hat{e}^3(\hat{\mathbf{x}}) := \hat{x}_2, \quad \hat{e}^4(\hat{\mathbf{x}}) := \hat{x}_3.$$

Metoda konečných prvků

Gradient uzlové báze

Pro smíšenou bilineární formu $\int_{\Omega} \mathbf{u} \cdot \nabla \varphi$ potřebujeme spočítat gradienty bazových funkcí, pro něž lze ukázat platnost analogického vzorce jako ve 2 dimenzích

$$\mathbf{B}_{\nabla}^k := (\nabla e^{k_1}(\mathbf{x}), \nabla e^{k_2}(\mathbf{x}), \nabla e^{k_3}(\mathbf{x}), \nabla e^{k_4}(\mathbf{x})) = (\mathbf{R}^k)^{-T} \cdot \begin{pmatrix} -1 & 1 & 0 & 0 \\ -1 & 0 & 1 & 0 \\ -1 & 0 & 0 & 1 \end{pmatrix},$$

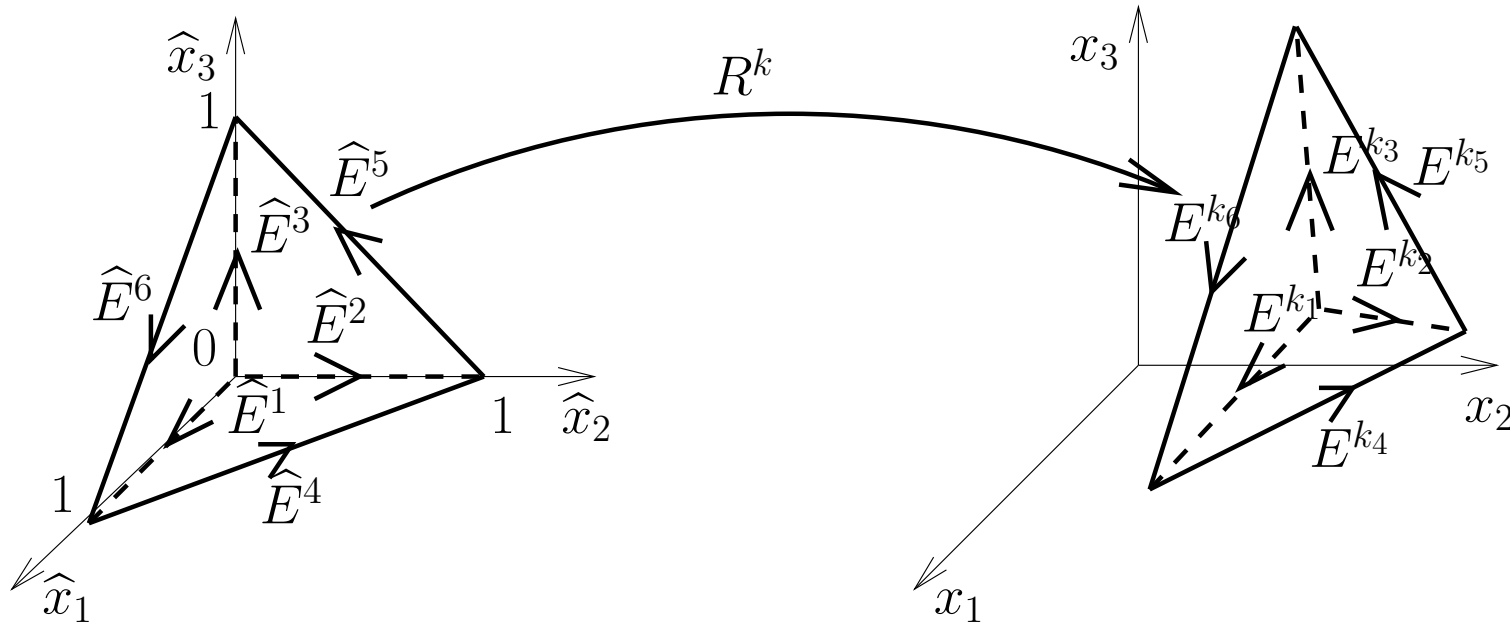
kde matice $(\mathbf{R}^k)^{-T}$ obsahuje derivace vnitřní funkce, tedy afinního zobrazení R^k , a sloupce druhé matice jsou gradienty referenčních bazových funkcí.

Metoda konečných prvků

Nédélecova MKP aproximace $\mathbf{V} := \mathbf{H}(\text{rot}; \Omega)$

Nad každou orientovanou hranou $E^i : \mathbf{x}^{i1} \rightarrow \mathbf{x}^{i2}$, $i \in \{1, 2, \dots, n_e\}$ diskretizace definujeme konečně-prvkovou bázovou funkci, kde $\mathbf{t}_j := (\mathbf{x}^{j2} - \mathbf{x}^{j1}) / |\mathbf{x}^{j2} - \mathbf{x}^{j1}|$,

$$\boldsymbol{\xi}^i(\mathbf{x})|_{T^k} = \mathbf{a}_k^i + \mathbf{b}_k^i \times \mathbf{x} \quad \text{a} \quad \int_{E^j} \boldsymbol{\xi}^i(\mathbf{x}) \cdot \mathbf{t}^j dl(\mathbf{x}) = \delta_{ij},$$



Metoda konečných prvků

Lokální báze funkce V^h

Uvažujme ref. čtyřstěn s orientovanými hranami $\widehat{E}^1 : \widehat{\mathbf{x}}^1 \rightarrow \widehat{\mathbf{x}}^2$, $\widehat{E}^2 : \widehat{\mathbf{x}}^1 \rightarrow \widehat{\mathbf{x}}^3$, $\widehat{E}^3 : \widehat{\mathbf{x}}^1 \rightarrow \widehat{\mathbf{x}}^4$, $\widehat{E}^4 : \widehat{\mathbf{x}}^2 \rightarrow \widehat{\mathbf{x}}^3$, $\widehat{E}^5 : \widehat{\mathbf{x}}^3 \rightarrow \widehat{\mathbf{x}}^4$, $\widehat{E}^6 : \widehat{\mathbf{x}}^4 \rightarrow \widehat{\mathbf{x}}^2$ a ref. báze funkce

$$\begin{aligned}\widehat{\xi}^1(\widehat{\mathbf{x}}) &:= \begin{pmatrix} 1 \\ 0 \\ 0 \end{pmatrix} + \begin{pmatrix} 0 \\ -1 \\ 1 \end{pmatrix} \times \widehat{\mathbf{x}}, & \widehat{\xi}^2(\widehat{\mathbf{x}}) &:= \begin{pmatrix} 0 \\ 1 \\ 0 \end{pmatrix} + \begin{pmatrix} 1 \\ 0 \\ -1 \end{pmatrix} \times \widehat{\mathbf{x}}, \\ \widehat{\xi}^3(\widehat{\mathbf{x}}) &:= \begin{pmatrix} 0 \\ 0 \\ 1 \end{pmatrix} + \begin{pmatrix} -1 \\ 1 \\ 0 \end{pmatrix} \times \widehat{\mathbf{x}}, & \widehat{\xi}^4(\widehat{\mathbf{x}}) &:= \begin{pmatrix} 0 \\ 0 \\ 1 \end{pmatrix} \times \widehat{\mathbf{x}}, \\ \widehat{\xi}^5(\widehat{\mathbf{x}}) &:= \begin{pmatrix} 1 \\ 0 \\ 0 \end{pmatrix} \times \widehat{\mathbf{x}}, & \widehat{\xi}^6(\widehat{\mathbf{x}}) &:= \begin{pmatrix} 0 \\ 1 \\ 0 \end{pmatrix} \times \widehat{\mathbf{x}}.\end{aligned}$$

Jim odpovídající konečně-prvkové báze funkce jsou tyto:

$$\xi^{k_i}(\mathbf{x}) = \text{sign}_k(E^{k_i}) (\mathbf{R}^k)^{-T} \cdot \widehat{\xi}(\widehat{\mathbf{x}}), \quad \text{sign}_k(E^{k_i}) := \begin{cases} 1, & \text{orientace } E^{k_i} \text{ shodná s } \widehat{E}^i \\ -1, & \text{orientace } E^{k_i} \text{ opačná k } \widehat{E}^i. \end{cases}$$

Metoda konečných prvků

Rotace hranové báze

Potřebujeme rotace hranových funkcí

$$\begin{aligned}\mathbf{B}_{\text{rot}}^k &:= (\text{rot}(\boldsymbol{\xi}^1), \text{rot}(\boldsymbol{\xi}^2), \text{rot}(\boldsymbol{\xi}^3), \text{rot}(\boldsymbol{\xi}^4), \text{rot}(\boldsymbol{\xi}^5), \text{rot}(\boldsymbol{\xi}^6)) \\ &= \frac{1}{\det(\mathbf{R}^k)} \mathbf{R}^k \cdot \begin{pmatrix} 0 & 2 & -2 & 0 & 2 & 0 \\ -2 & 0 & 2 & 0 & 0 & 2 \\ 2 & -2 & 0 & 2 & 0 & 0 \end{pmatrix} \cdot \text{diag}(\text{sign}_k(E^{k_i}))_{i=1}^6.\end{aligned}$$

Potřebujeme hodnoty bázových funkcí v těžišti $\mathbf{x}_c^k := (1/4) \sum_{i=1}^4 \mathbf{x}^{k_i}$ čtyřstěnu T^k

$$\begin{aligned}\mathbf{B}_{\text{Id}}^k &:= (\boldsymbol{\xi}^1(\mathbf{x}_c^k), \boldsymbol{\xi}^2(\mathbf{x}_c^k), \boldsymbol{\xi}^3(\mathbf{x}_c^k), \boldsymbol{\xi}^4(\mathbf{x}_c^k), \boldsymbol{\xi}^5(\mathbf{x}_c^k), \boldsymbol{\xi}^6(\mathbf{x}_c^k)) \\ &= (\mathbf{R}^k)^{-T} \cdot \frac{1}{4} \begin{pmatrix} 2 & 1 & 1 & -1 & 0 & 1 \\ 1 & 2 & 1 & 1 & -1 & 0 \\ 1 & 1 & 2 & 0 & 1 & -1 \end{pmatrix} \cdot \text{diag}(\text{sign}_k(E^{k_i}))_{i=1}^6.\end{aligned}$$

Metoda konečných prvků

Lokální matice a vektory

Lokální příspěvek do matice bilineární formy $\int_{\Omega} (1/\mu) \mathbf{rot}(\mathbf{u}) \cdot \mathbf{v}$ je

$$\mathbf{A}^k := \frac{1}{\mu^k} (\mathbf{B}_{\mathbf{rot}}^k)^T \cdot \mathbf{B}_{\mathbf{rot}}^k \frac{|\det(\mathbf{R}^k)|}{6},$$

kde $\mu^k := \mu(\mathbf{x})|_{T^k}$. Lokální příspěvek do matice bilineární formy $\int_{\Omega} \mathbf{u} \cdot \nabla \varphi$ je

$$\mathbf{B}^k := (\mathbf{B}_{\nabla}^k)^T \cdot \mathbf{B}_{\text{Id}}^k \frac{|\det(\mathbf{R}^k)|}{6}.$$

Lokální příspěvek vektoru lineární formy $\int_{\Omega} \mathbf{j} \cdot \mathbf{v}$ je

$$\mathbf{b}^k := (\mathbf{B}_{\text{Id}}^k)^T \cdot \mathbf{j}^k \frac{|\det(\mathbf{R}^k)|}{6},$$

kde $\mathbf{j}^k := \mathbf{j}(\mathbf{x})|_{T^k}$.

Metoda konečných prvků

Globální matice a vektory

$$\tilde{\mathbf{A}} := \sum_{k=1}^m \mathcal{G}^k(\mathbf{A}^k), \quad \tilde{\mathbf{B}} := \sum_{k=1}^m \mathcal{L}^k(\mathbf{B}^k), \quad \tilde{\mathbf{b}} := \sum_{k=1}^m \mathcal{H}^k(\mathbf{b}^k),$$

kde $\mathcal{G}^k : \mathbb{R}^{6 \times 6} \rightarrow \mathbb{R}^{n_e \times n_e}$, $\mathcal{L}^k : \mathbb{R}^{4 \times 6} \rightarrow \mathbb{R}^{n \times n_e}$ a $\mathcal{H}^k : \mathbb{R}^6 \rightarrow \mathbb{R}^{n_e}$ zobrazují lokální hranové matice, uzlově–hranové matice, resp. lokální hranové vektory na globální.

$$\mathbf{A} := \tilde{\mathbf{A}}_{I^e, I^e}, \quad \mathbf{B} := \tilde{\mathbf{B}}_{I, I^e}, \quad \mathbf{b} := \tilde{\mathbf{b}}_{I^e},$$

kde $I^e := \{i_1^e, i_2^e, \dots, i_{p^e}^e\}$ a $I := \{i_1, i_2, \dots, i_p\}$ jsou indexy hran a uzlů mimo $\partial\Omega$.

MKP aproximace

$$\begin{pmatrix} \mathbf{A} & \mathbf{B}^T \\ \mathbf{B} & \mathbf{0} \end{pmatrix} \cdot \begin{pmatrix} \mathbf{u} \\ \boldsymbol{\lambda} \end{pmatrix} = \begin{pmatrix} \mathbf{b} \\ \mathbf{0} \end{pmatrix},$$

kde $\mathbf{u}^h(\mathbf{x}) := \sum_{k=1}^{p^e} u_k \boldsymbol{\xi}^{i_k^e}(\mathbf{x})$, $\mathbf{B}^h(\mathbf{x})|_{T^k} = \mathbf{B}_{\text{rot}}^k \cdot \mathbf{u}^k$, kde \mathbf{u}^k je lokální vektor řešení doplněný o nuly pro hrany čtyřstěnu T^k ležící na $\partial\Omega$.

Metoda konečných prvků

Numerické řešení $\mathbf{B} := \text{rot}(\mathbf{u})$

Volba geometrie $\Omega := (-6, 6)^3$, $\Omega_j := (-3, 3)^3 \setminus (\langle -2, 2 \rangle \times \langle -3, 3 \rangle \times \langle -2, 2 \rangle)$, $\Omega_r := (-2, 2) \times (-4, 4) \times (-2, 2)$, $h := 1$ vede na $n := 2401$ uzlů a $m := 4608$ trojúhelníků.

